

# 動的 有限要素法에 의한 보의 비틀림 自由 振動解析

梁保錫\* · 呂雲東\*\*

## On a Finite Dynamic Element Method for Free Torsional Vibration of the Beam

B. S. Yang and W. D. Yeo

### Abstract

The traditional finite element method applied to dynamic problems employs shape functions which are based on a static displacement assumption. The more exact approach uses frequency-dependent shape functions and frequency-dependent mass and stiffness matrices. Such matrices are developed for a torsional vibration of shaft element. Numerical examples are presented for a cantilever beam.

### 1. 서 론

유한요소법에서 연속탄성체의 한 요소 내의 변위장(displacement field)  $\mathbf{u}$ 는 요소의 절점 변위  $\mathbf{U}$ 와

$$\mathbf{u} = \mathbf{a}\mathbf{U}$$

의 관계를 갖는다. 여기서  $\mathbf{a}$ 는 형상함수(shape function)로서 정하중의 경우에는 절점 좌표의 함수로 쉽게 나타낼 수 있으나, 동적인 문제에서는 변위가 절점변위의 직전시간력(time history)에 의존되므로 일의적으로 표현할 수 없다. 그러나 계가 조화운동을 하는 경우는 절점변위의 순시치와 조화운동의 진동수  $\omega$ 의 함수로 나타낼 수 있다<sup>1)</sup>. 즉,

$$\mathbf{u}(x, t) = \mathbf{a}(x, \omega)\mathbf{U}(t)$$

로 되고, 형상함수  $\mathbf{a}$ 가 진동수의 함수이므로 자유진동을 하는 계의 엄밀한 질량 및 강성행렬은 진동수 종속의 행렬이 된다.

$$\mathbf{a}(x, \omega) = \mathbf{a}_0(x) + \omega\mathbf{a}_1(x) + \omega^2\mathbf{a}_2(x) + \dots$$

$$\mathbf{M} = \mathbf{M}_0 + \omega\mathbf{M}_1 + \omega^2\mathbf{M}_2 + \dots$$

$$\mathbf{K} = \mathbf{K}_0 + \omega\mathbf{K}_1 + \omega^2\mathbf{K}_2 + \dots$$

여기서,  $\mathbf{M}_0$ 와  $\mathbf{K}_0$ 는 정적 질량 및 강성행렬이고,  $\mathbf{M}_1, \mathbf{M}_2, \dots, \mathbf{K}_1, \mathbf{K}_2, \dots$ 등은 동적 수정을 나타내는 행렬들이다. 종래의 유한요소법에서는 단지 정적변위의 가정에 의한 형상함수  $\mathbf{a}_0(x)$ 를 이용하였으므로  $\mathbf{M}_0$  및  $\mathbf{K}_0$ 만을 유도할 수 있었다. 그러므로 고유치해석의 경우 엄밀

\* 정회원, 부산수산대학교 박용기계공학과

\*\* 정회원, 여수수산대학 기관학과

해와 많은 오차가 발생하였다. 본 연구에서는 비틀림 진동계의 진동수 증속 행렬을 유도하고, 이 결과를 이용하여 수치계산을 하여 본방법의 유용함을 종래의 유한요소법의 결과와 비교하여 확인하였다.

## 2. 질량 및 강성행렬의 유도

원형단면의 축요소(Fig. 1)의 비틀림 진동을 나타내는 미분방정식은

$$c^2 \frac{\partial^2 \theta}{\partial x^2} - \frac{\partial^2 \theta}{\partial t^2} = 0 \quad (1)$$

로 나타낼 수 있으며, 여기서  $c^2 = G/\rho$ ,  $G$ 는 축재료의 횡탄성계수,  $\rho$ 는 축재료의 단위 체적당의 밀도를 나타낸다.

식(1)의 해를 다음과 같이 진동수  $\omega$ 의 급수로 전개된다고 가정한다.

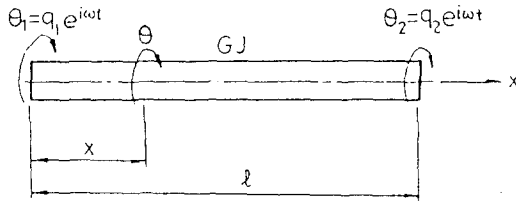


Fig. 1 Shaft element

$$\begin{aligned} \theta &= (\mathbf{a}_0 + \omega \mathbf{a}_1 + \omega^2 \mathbf{a}_2 + \dots) \psi \\ &= \mathbf{a} \mathbf{q} e^{i\omega t} \\ &= \left( \sum_{r=0}^{\infty} \omega^r \mathbf{a}_r \right) \mathbf{q} e^{i\omega t} \end{aligned} \quad (2)$$

여기서,

$$\begin{aligned} \psi &= \{ \psi_1 \ \psi_2 \} \\ &= \{ q_1 \ q_2 \} e^{i\omega t} \end{aligned}$$

이다.

식(2)를 식(1)의 운동방정식에 대입하면

$$c^2 \left( \sum_{r=0}^{\infty} \omega^r \mathbf{a}''_r \right) \mathbf{q} e^{i\omega t} - \omega^2 \left( \sum_{r=0}^{\infty} \omega^r \mathbf{a}_r \right) \mathbf{q} e^{i\omega t} = 0 \quad (3)$$

로 된다.

식(3)에서  $\omega$ 의 차수를 동일한 항으로 분리

하여 정리하면

$$\frac{\partial^2 \mathbf{a}_0}{\partial x^2} = 0 \quad (4)$$

$$\frac{\partial^2 \mathbf{a}_1}{\partial x^2} = 0 \quad (5)$$

$$c^2 \frac{\partial^2 \mathbf{a}_2}{\partial x^2} = -\mathbf{a}_0 \quad (6)$$

$$c^2 \frac{\partial^2 \mathbf{a}_3}{\partial x^2} = -\mathbf{a}_1 \quad (7)$$

.....

로 나타낼 수 있다. 이들 식은 직접 적분함으로써 쉽게 계산할 수 있다.

식(4)의  $\mathbf{a}_0$ 는 관성항을 무시한 종래의 유한요소법에서 이용된 정적형상함수(static shape function)로서 다음의 경계조건을 만족해야 한다. 즉,

$$\begin{aligned} x=0, \quad \theta &= \theta_1 \\ x=l, \quad \theta &= \theta_2 \end{aligned} \quad (8)$$

식(8)을 함수  $\mathbf{a}_0$ 에 관한 경계조건으로 다시 표현하면

$$\begin{aligned} a_{01}(0) &= 1, \quad a_{01}(l) = 0 \\ a_{02}(0) &= 0, \quad a_{02}(l) = 1 \end{aligned} \quad (9)$$

이 얻어진다. 단,

$$\mathbf{a}_0 = \{ a_{01} \ a_{02} \}$$

이다.

그러므로 식(4)를 적분한 후 식(9)의 경계조건을 대입하면 다음의 해가 얻어진다.

$$\mathbf{a}_0 = \{ 1 - \eta \ \eta \} \quad (10)$$

단,  $\eta = x/l$ 이다.

식(5)에서 식(7)까지의 계산의 경우에는  $x=0$ 와  $x=l$ 에서  $\mathbf{a}_1$ ,  $\mathbf{a}_2$  및  $\mathbf{a}_3$ 가 영이 되어야 하는 경계조건을 사용하면 다음과 같이 표현할 수 있다.

$$\mathbf{a}_1 = 0 \quad (11)$$

$$\mathbf{a}_2 = \frac{\rho l^2}{6G} \{ (2\eta - 3\eta^2 + \eta^3) (\eta - \eta^3) \} \quad (12)$$

$$\mathbf{a}_3 = 0 \quad (13)$$

.....

요소 질량 및 강성매트릭스  $\mathbf{m}, \mathbf{k}$ 는 다음과 같이 형상함수  $\mathbf{a}_i (i=1, 2, \dots)$ 에 의해 나타낼 수 있다<sup>2)</sup>.

$$\mathbf{m} = \int_0^l \mathbf{a}^T \rho I_p \mathbf{a} \, dx \quad (14)$$

$$\mathbf{k} = \int_0^l \mathbf{a}'^T G I_p \mathbf{a}' \, dx \quad (15)$$

여기서,  $I_p$ 는 축단면적의 극관성 모멘트이고, ( )'는  $x$ 에 관한 미분을 나타낸다.

그러므로 식(10)~(13)을 식(14)와 (15)에 각각 대입하면 다음과 같은 주파수 종속 질량 및 강성행렬을 구할 수 있다.

$$\mathbf{m} = \mathbf{m}_0 + \omega^2 \mathbf{m}_2 + \dots \quad (16)$$

$$\mathbf{k} = \mathbf{k}_0 + \omega^4 \mathbf{k}_4 + \dots \quad (17)$$

여기서,

$$\mathbf{m}_0 = \frac{\rho I_p l}{6} \begin{pmatrix} 2 & 1 \\ 1 & 2 \end{pmatrix}$$

$$\mathbf{m}_2 = \frac{2\rho^2 I_p l^3}{45G} \begin{pmatrix} 1 & 7/8 \\ 7/8 & 1 \end{pmatrix}$$

$$\mathbf{k}_0 = -\frac{G I_p}{l} \begin{pmatrix} 1 & -1 \\ -1 & 1 \end{pmatrix}$$

$$\mathbf{k}_4 = \frac{\rho^2 I_p l^3}{45G} \begin{pmatrix} 1 & 7/8 \\ 7/8 & 1 \end{pmatrix}$$

이다.

식(16)과 (17)에서  $\mathbf{m}_0$  및  $\mathbf{k}_0$ 행렬은 정적변위에 따른 종래의 유한요소 질량 및 강성행렬과 일치하며,  $\mathbf{m}_2$ 와  $\mathbf{k}_4$ 행렬은 본 연구에서 새로 유도된 1차 주파수 종속항을 나타내는 행렬이다.

### 3. 고유치 해석

바깥의 자유진동의 운동방정식은 계의 요소 행렬을 이용하여 구성하면 다음과 같다.

$$(-\omega^2 \mathbf{M} + \mathbf{K}) \mathbf{q} = 0 \quad (18)$$

식(16)과 식(17)을 식(18)에 대입하면

$$[\mathbf{K}_0 - \omega^2 \mathbf{M}_0 - \omega^4 (\mathbf{M}_2 - \mathbf{K}_4) - \dots] \mathbf{q} = 0 \quad (19)$$

로 된다.

실제 계산의 경우,  $\omega^4$ 이상의 항은 무시하여도 큰 오차가 없으므로 식(19)는  $\omega^2$ 의 2차식으로 표시되는 고유치문제(quadratic eigenvalue problem)의 식으로 귀착된다<sup>3)</sup>. 즉,

$$(\mathbf{A} - \omega^2 \mathbf{B} - \omega^4 \mathbf{C}) \mathbf{q} = 0 \quad (20)$$

여기서

$$\mathbf{A} = \mathbf{K}_0, \quad \mathbf{B} = \mathbf{M}_0, \quad \mathbf{C} = \mathbf{M}_2 - \mathbf{K}_4$$

이다.

식(20)의 고유치의 해는 통상적으로 다음과 같이 다시 배열할 수 있다.

$$(\mathbf{D} - \omega^2 \mathbf{I}) \mathbf{Y} = 0 \quad (21)$$

여기서,

$$\mathbf{D} = \begin{pmatrix} 0 & \mathbf{I} \\ \mathbf{C}^{-1} \mathbf{A} & \mathbf{C}^{-1} \mathbf{B} \end{pmatrix}, \quad \mathbf{Y} = \begin{pmatrix} \mathbf{q} \\ \dot{\mathbf{q}} \end{pmatrix}$$

이다.

전 절점수를  $n$ 이라 하면 행렬  $\mathbf{A}, \mathbf{B}, \mathbf{C}$ 는  $2n \times 2n$ 이고,  $\mathbf{D}$ 는  $4n \times 4n$ 의 행렬이 되어 고유치는 모두  $4n$ 개가 구해진다. 이는 정적변위함수(static displacement function)만을 고려한 종래의 유한요소법의 경우에 비해 차수가 2배로 증가한 것으로 계산시간과 용량의 증가가 요구된다.

### 4. 수치계산 결과

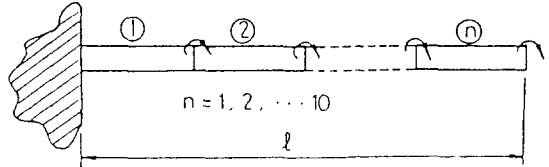
본 연구에서 제안한 방법의 유용성 즉, 고유치와 고유벡터의 정도 향상을 종래의 유한요소행렬의 결과와 비교검토 하였다. 엄밀해와의 비교를 위해 일단고정, 타단자유의 외팔보를 이용하였다.

외팔보의 비틀림 고유진동에 대한 엄밀해는 다음과 같다<sup>4)</sup>.

$$\omega_i = \frac{\beta_i}{l} \left( \frac{G}{\rho} \right)^{1/2}$$

Table 1. Ratios of  $\omega/\omega_{ex}$  for torsional vibrations of a fixed-free shaft

| n  | Frequency Number   |                    |                    |                    |                    |                    |                    |                    |                    |                    |
|----|--------------------|--------------------|--------------------|--------------------|--------------------|--------------------|--------------------|--------------------|--------------------|--------------------|
|    | 1                  | 2                  | 3                  | 4                  | 5                  | 6                  | 7                  | 8                  | 9                  | 10                 |
| 1  |                    |                    |                    |                    |                    |                    |                    |                    |                    |                    |
| 2  | 1.0015<br>(1.0259) | 1.0687<br>(1.1946) |                    |                    |                    |                    |                    |                    |                    |                    |
| 3  | 1.0003<br>(1.0115) | 1.0191<br>(1.1027) | 1.0827<br>(1.2002) |                    |                    |                    |                    |                    |                    |                    |
| 4  | 1.0000<br>(1.0064) | 1.0067<br>(1.0583) | 1.0405<br>(1.1535) | 1.0829<br>(1.1915) |                    |                    |                    |                    |                    |                    |
| 5  | 1.0000<br>(1.0041) | 1.0029<br>(1.0373) | 1.0191<br>(1.1027) | 1.0573<br>(1.1811) | 1.0792<br>(1.1815) |                    |                    |                    |                    |                    |
| 6  | 1.0000<br>(1.0029) | 1.0015<br>(1.0259) | 1.0099<br>(1.0719) | 1.0323<br>(1.1365) | 1.0687<br>(1.1946) | 1.0746<br>(1.1728) |                    |                    |                    |                    |
| 7  | 1.0000<br>(1.0021) | 1.0008<br>(1.0189) | 1.0056<br>(1.0529) | 1.0191<br>(1.1027) | 1.0443<br>(1.1605) | 1.0761<br>(1.2001) | 1.0701<br>(1.1655) |                    |                    |                    |
| 8  | 1.0000<br>(1.0016) | 1.0005<br>(1.0145) | 1.0034<br>(1.0405) | 1.0118<br>(1.0792) | 1.0286<br>(1.1279) | 1.0544<br>(1.1769) | 1.0804<br>(1.2014) | 1.0660<br>(1.1594) |                    |                    |
| 9  | 1.0000<br>(1.0013) | 1.0003<br>(1.0115) | 1.0022<br>(1.0320) | 1.0077<br>(1.0627) | 1.0190<br>(1.1027) | 1.0377<br>(1.1479) | 1.0624<br>(1.1877) | 1.0827<br>(1.2002) | 1.0624<br>(1.1543) |                    |
| 10 | 1.0000<br>(1.0010) | 1.0002<br>(1.0093) | 1.0015<br>(1.0259) | 1.0052<br>(1.0508) | 1.0131<br>(1.0837) | 1.0265<br>(1.1228) | 1.0459<br>(1.1633) | 1.0687<br>(1.1946) | 1.0836<br>(1.1978) | 1.0593<br>(1.1500) |



\* Numbers in parenthesis represent values obtained from conventional analysis

단,  $\beta_i = \frac{\pi}{2}(2i-1)$ ,  $i$ 는 차수이다.

본 계산에 사용된 수치는 다음과 같다.

$$E = 3 \times 10^7 \text{ N/cm}^2, \quad \nu = 0.3, \quad G = \frac{E}{2(1+\nu)}$$

$$\rho = 0.724637 \times 10^{-3} \text{ kg/cm}^3, \quad l = 24 \text{ cm}$$

식(21)에 의해 구해진 비틀림 고유진동수와 임펄스와 비틀 분할 요소수의 변화에 따라 Table 1.에 나타내었으며, 또한 종래의 유한 요소 모델에 의한 결과도 괄호속에 각각 나타내었다.

이 표에서 알 수 있듯이 주파수 증속 행렬을 고려함으로써, 종래의 정적변위함수에 의한 유한요소법의 결과보다 계산정도가 현저하게 높아짐을 알 수 있다.

Fig. 2와 Fig. 3은 위의 경향을 나타내기 위해 요소 분할수에 대해 1차에서 4차까지의 고유진동수에 대한 퍼센트 오차(percentage error)를 비교한 것이다. 퍼센트 오차는 다음과 같이 정의한다.

$$\text{Percentage error} = \frac{\omega_{ex} - \omega}{\omega_{ex}} \times 100(\%)$$

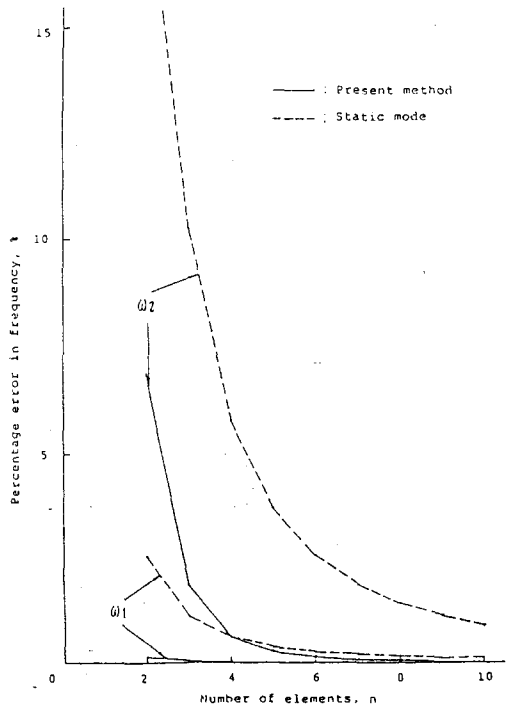


Fig. 2 Variations of percentage error in frequencies of a shaft

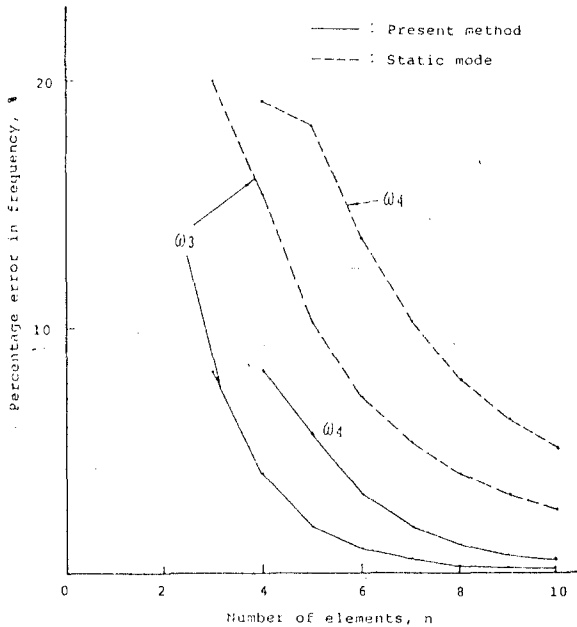


Fig. 3 Variations of percentage error in frequency of a shaft

여기서,  $\omega_{ex}$ 는 엄밀해이고,  $\omega$ 는 유한요소 모델에 의한 진동수이다. 그림에서 보면 본 방법에 의한 결과가 기존의 유한요소법에 의한 결과에 비해 엄밀해로의 수렴이 요소수의 증가에 따라 매우 빠르며 이는 저차 고유진동수에서 더욱 빠른 경향을 보이고 있다.

본 방법의 고유치 계산 차수가 기존의 방법에 비해 2배나 크므로, 이런 단점을 극복하기 위하여 요소수를 반으로 줄인 결과와 비교하여 보아도 본 방법의 오차가 매우 적음을 알 수 있다. 따라서 기존의 유한요소 모델에 본 연구에서 제안한 주파수 종속 행렬을 첨가함으로써 계의 비틀림 고유진동수를 보다 정확하고 경제적으로 구할 수 있을 것이다.

## 5. 결 론

본 연구에서는 유한요소법의 계산정도를 향상시키기 위하여 종래의 정적 형상함수에 의한 질량 및 강성행렬에 관성항의 영향을 보정하기 위해 주파수 종속 행렬을 첨가하는 동적 유한요소법을 비틀림 진동계에 적용하였다. 본 방법의 유용성을 검토하기 위해서 일단고정, 타단자유의 축을 이용하여 엄밀해 및 기존의 방법에 의한 결과와 비교하였다. 현재 회전축, 평판, 쉘, 곡면보등의 기계요소에 관하여 본 방법을 응용중에 있으며 차후에 이들을 보고할 예정이다.

## 참고문헌

- 1) Przemieniecki, J. S., "Quadratic Matrix Equations for Determining Vibration Modes and Frequencies of Continuous Elastic Systems", Proc. Conf. Matrix Meth. Struct. Mech., Wright-Patterson Air Force Base, AFFDL TR 66-80, 1966.
- 2) Przemieniecki, J. S., "Theory of Matrix Structural Analysis", McGraw-Hill, New York, 1968.
- 3) Gupta, K. K., "Solution of Quadratic Matrix Equations for Free Vibration Analysis of structures", Int. J. for Num. Meth. Eng., Vol.6, pp.129-135, 1973.
- 4) Gorman, D. J., "Free Vibration Analysis of beams and shafts", John Wiley & Sons, New York.